

机械制造者

书目



机械工业出版社

157-113

4

V.50 20

机械制造者手册

(共六卷)

第三卷

主编 烏克兰苏维埃社会主义共和国科学院院士 谢联先

机械工业出版社

出版者的

这部《机械制造者手册》共六卷，第一卷是关于数学、理论力学、机械原理三方面的资料。第二卷是关于热工学、化学、光学、声学、水力学等方面的资料。第三卷是机械强度计算。第四卷是机械零件的设计和计算。第五卷是供机械设计师参考的制造工艺方面的资料。第六卷是关于机械制造用的材料方面的资料。中译本是根据1955年修订二版译出的。第二版很多章作了修改，有几章从新写过，或作了补充；对于实际应用价值不大的材料都删去了。所以新版可以说取材既全面又精炼，无论从理论方面说或是从实用方面说，都照顾得很适当。各种重要的原理、公式及计算方法书中有丰富的应用举例。

本手册是从事机械制造的工程师及研究人员必备的参考书。

本卷著者

技术科学硕士：安德列耶娃（Л. Е. Андреева）、比第尔曼（В. Л. Бидерман）、博亚尔申诺夫（С. В. Бояршинов）、基缅脱别尔格（Ф. М. Диментберг）、马库申（В. М. Макушин）、马里宁（Н. Н. Малинин）、简耳鲍姆（И. М. Тетельбаум）、特拉彼新（И. И. Трапезин），技术科学博士、教授：金纳索什维利（Р. С. Кинасошвили）、伏耳弥尔（А. С. Вольмир）、波诺马列夫（С. Д. Пономарев）、普黎郭罗夫斯基（Н. И. Прягородский）、乌曼斯基（А. А. Уманский）、菲奥多捷夫（В. И. Феодосьев）、工程师扎西达帖列夫（С. М. Заседателев）、乌克兰苏维埃社会主义共和国科学院通讯院士科瓦连科（А. Д. Коваленко）、乌克兰苏维埃社会主义共和国科学院院士谢联先（С. В. Серенсен）。

本卷译者

辛一行、张直明、唐照千、王锡庶、张言羊、夏寅蓀、徐世麟、
陆家训、朱城、张和享、金忠谋、林明邦

本卷校者

吴克敏、朱城、张直明、章纪川、华申吉、于尔申

*

苏联 С. В. Серенсен 主编 ‘Справочник машиностроителя
(в шести томах) Том 3’ (Машгиз 1955年第二版)

*

*

*

NO. 1994

1960年2月第一版 1960年2月第一版第一次印刷

850×1168 1/32 字数815千字 印张24 1/2 插页3 00,001—10,100册

机械工业出版社(北京阜成门外百万庄)出版

机械工业出版社印刷厂印刷 新华书店发行

北京市書刊出版业营业

统一書号 15033·2053

許可証出字第008号

定 价(11) 5.70 元

主要符号

A、B及R——支反力。

A——强制振动的振幅。

a——自由振动的振幅。

a_n ——用具有切口的試样試得的单位冲击韌性(公斤米/厘米²或公斤厘米/厘米²)。

d及D——軸或孔的直徑(厘米, 毫米)。

E——纵向彈性模數(公斤/厘米²)。

E_T ——增强模數(公斤/厘米²)。

F——橫截面的面積(厘米²)。

F_{nm} ——橫截面的有效面積(扣除了截面所受的削弱后)。

f——撓度(厘米, 毫米); 振動頻率(秒⁻¹, 赫芝)。

G——剪切彈性模數(公斤/厘米²)。

h、b——零件的矩形截面的尺寸, 依次為高度及寬度。

J——截面的軸慣矩(厘米⁴)。

J_1 及 J_2 ——截面对于軸線1和2的主軸慣矩。

J_p ——截面的極慣矩(厘米⁴)。

i——截面的迴轉半徑(厘米)。

k_s ——系数, 表明靜載荷下應力集中對強度的影響。

$k_a = \frac{\sigma_{-1}}{\sigma_{-1}\kappa}$ ——變動法向應力下的有效應力集中系数。

$k_\tau = \frac{\tau_{-1}}{\tau_{-1}\kappa}$ ——變動切向應力下的有效應力集中系数。

$(k_a)_D$ ——系数, 反映出法向應力集中和絕對尺寸的影響, 以及表層和表面狀態的影響。

$(k_\tau)_D$ ——系数, 反映出切向應力集中和絕對尺寸的影響, 以及表層和表面狀態的影響。

L——外力矩(公斤厘米, 吨米)。

l、L——長度, 跨距(厘米)。

M——弯矩(公斤厘米, 吨米)。

M_K ——扭矩(公斤厘米, 吨米)。

N——循環數。

N、S、P——縱向(軸向)力(公斤)。

- n ——强度裕度。
- n_y ——稳定裕度。
- P ——集中力, 外载荷(公斤, 吨)。
- P_{kp} ——临界力, 临界载荷。
- p, q ——单位长度上或单位面积上的载荷, 合成应力(公斤/厘米, 吨/米或公斤/厘米², 吨/米²)。
- Q ——载荷, 重量, 剪力(公斤, 吨)。
- a ——材料对应力集中的敏性系数。
- r, R, ρ ——臂长, 半径。
- $r = \frac{\sigma_{\min}}{\sigma_{\max}}$ ——循环的不对称系数。
- s ——真法向应力, 单位长度或单位面积上的切向载荷。
- S ——面积静矩(厘米³)。
- s_K ——对断裂的真抵抗能力。
- T ——时间(秒); 周期(秒); 动能(公斤厘米)。
- t ——变形超出弹性极限时的真切向应力(公斤/厘米², 公斤/毫米²), 时间(秒), 温度。
- t_K ——抗剪能力。
- t, δ ——厚度。
- U ——变形位能(公斤厘米, 公斤米)。
- u, v, w ——依次为沿轴线 x, y, z 的线性位移。
- W ——弯曲截面模数(厘米³)。
- W_p ——极截面模数。
- $W_{\delta p}$ ——不计削弱的截面模数。
- W_{nm} ——计入削弱的截面模数。
- x, y, z ——一点的坐标; 坐标轴的符号。
- $\alpha_o = \frac{\sigma_{\max}}{\sigma_H}$ ——弹性极限内的法向应力集中系数。
- $\alpha_r = \frac{\tau_{\max}}{\tau_H}$ ——弹性极限内的切向应力集中系数。
- β ——系数, 表明表面状态及表层性质对疲乏极限的影响。
- γ ——相对剪变形。
- $\Delta = \epsilon_1 + \epsilon_2 + \epsilon_3$ ——变形素的相对积变。
- $\epsilon_1, \epsilon_2, \epsilon_3$ ——点上的主变形。

- ϵ ——相对纵向变形。
 ϵ_u ——真纵向变形。
 ϵ_i ——变形集度。
 ϵ_e, ϵ_p ——依次为弹性及塑性的纵向变形。
 ϵ_a, ϵ_t ——系数，依次表明在法向应力及切向应力作用下、截面尺寸对抵抗疲乏的能力的影响。
 ϵ_T ——系数，表明随零件截面尺寸而定的、材料屈服极限的改变。
 ϵ_s ——系数，表明随零件截面尺寸而定的、材料强度极限的改变。
 $\dot{\epsilon}$ ——变形速度。
 θ ——横截面在弯曲时的偏转角。
 θ ——质量惯矩（公斤秒²厘米）。
 $\lambda = 1 - \frac{E_T}{E}$ ——减弱系数； λ ——杆的柔度。
 μ ——波松比。
 σ ——法向应力（公斤/厘米²，公斤/毫米²）。
 $\sigma_1, \sigma_2, \sigma_3$ ——一点上的主应力；其中 $\sigma_1 > \sigma_2 > \sigma_3$ 。
 σ_n ——名义法向应力。
 σ_i ——应力集度。
 $[\sigma]$ ——许用法向应力。
 $[\sigma]_p$ ——许用拉伸应力。
 $[\sigma]_{c\%}$ ——许用压缩应力。
 $[\sigma]_u$ ——许用弯曲应力。
 σ_{np} ——相当应力。
 σ_s ——强度极限（瞬时抵抗能力）。
 σ_{sp} ——拉伸强度极限。
 $\sigma_{sc\%}$ ——压缩强度极限。
 σ_{su} ——弯曲强度极限。
 σ_T ——屈服极限（公斤/毫米²，公斤/厘米²）。
 $\sigma_{0.2}$ ——与0.2%塑性变形相应的屈服极限。
 σ_{Ts} ——外插的屈服极限。
 σ_{-1} ——对称循环弯曲疲乏极限（公斤/毫米²，公斤/厘米²）。

σ_{-1P} ——对称循环拉压疲劳极限。

σ_0 ——脉动循环弯曲疲劳极限。

σ_{0c} ——脉动循环压缩疲劳极限。

σ_{-1K} ——有应力集中时的对称循环弯曲疲劳极限。

$\sigma_{\max}, \tau_{\max}$ ——循环中的最大应力。

$\sigma_{\min}, \tau_{\min}$ ——循环中的最小应力。

$\sigma_m = \frac{\sigma_{\max} + \sigma_{\min}}{2}$ ——循环中的平均应力。

$\sigma_a = \frac{\sigma_{\max} - \sigma_{\min}}{2}$ ——循环中的应力幅。

σ_{nA} ——蠕滑极限。

σ_{nu} ——比例极限。

σ_{da} ——长期强度极限。

σ_y ——弹性极限。

τ ——切向应力 (公斤/厘米², 公斤/毫米²)。

τ_n ——名义切向应力。

[τ]——许用切向应力。

[τ]_{cp}——许用剪切应力。

[τ]_K——许用扭转应力。

τ_s ——扭转强度极限。

τ_{scp} ——剪切强度极限。

τ_T ——剪切屈服极限。

τ_{-1} ——对称循环扭转疲劳极限。

τ_{-1K} ——有应力集中时的对称循环扭转疲劳极限。

$\tau_m = \frac{\tau_{\max} + \tau_{\min}}{2}$ ——循环中的平均切向应力。

$\tau_a = \frac{\tau_{\max} - \tau_{\min}}{2}$ ——循环中的切向应力幅。

φ ——扭转角。

Ψ ——横截面面积在拉断时的相对收缩。

$\psi_a = \frac{2\sigma_{-1} - \sigma_0}{\sigma_0}$ ——系数, 表明法向应力下循环的不对称性对强度的影响。

$\psi_\tau = \frac{2\tau_{-1} - \tau_0}{\tau_0}$ ——系数, 表明切向应力下循环的不对称性对强度的影响。

ω ——角速度, 角频率 (秒⁻¹)。

目 次

主要符号

第一章 应力和变形	普黎郭罗夫斯基等	1
应力		1
变形		9
应力与变形在彈性极限內的关系		12
应力与变形在塑性变形时的关系		17
应力場		21
第二章 杆件的計算		23
直杆的計算	普黎郭罗夫斯基	23
中心拉伸和压缩		23
剪切 (剪断或剪裂)		31
扭轉		33
截面的几何特性		44
单跨梁中的剪力和弯矩		73
多跨梁及彈性基座梁在不活动載荷下的剪力和弯矩	基繩脫別尔格	94
在移动載荷下梁中的剪力和弯矩	基繩脫別尔格	111
梁的应力和强度計算		120
弯曲变形能		134
梁的位移		135
复合抵抗能力		144
曲梁和螺旋梁的計算	波諾馬列夫	
大曲率的平面曲梁的应力和变形		159
圓形横截面的螺旋梁的应力		168
大柔度杆的弯曲計算	扎西达帖列夫	159
引言		172
图解法		173
图解-分析解法		179

第三章 杆件系統的計算	烏曼斯基等	199
靜定桁架計算		199
靜定剛架的計算		212
位移的決定		213
超靜定系統的計算		220
第四章 薄壁杆件計算	烏曼斯基	240
薄壁杆件的品質特性		240
開口斷面杆件在自由扭轉時的應力和變形		242
封閉斷面杆件在自由扭轉時的應力和變形		245
薄壁杆件的複合抗力		247
一端或二端固定的短薄壁杆件		260
開口斷面杆件軸心壓縮和偏心壓縮的穩定性		263
梁橫彎曲時的一般穩定性		266
第五章 平板的計算	伏耳彌爾	271
一般概念		271
平板的彎曲計算		272
厚板的計算		284
平板的穩定性計算		285
第六章 壳體的計算	菲奧多捷夫	294
對稱薄殼的計算		294
大撓度壳體的剛性計算		305
第七章 受軸向對稱載荷的圓柱形零件的計算		317
厚壁圓筒受內壓力和外壓力	博亞爾申諾夫	317
結合零件的長度相同時的壓配合計算		319
求厚壁圓筒應力的圖解法		320
緊套合圓筒和自緊套合圓筒		322
厚壁圓筒的溫度應力		323
受沿長度變化的軸向對稱載荷的厚壁圓筒		324
結合零件的長度不同時壓配合的計算		327
承受壓力的厚壁球	菲奧多捷夫	328
第八章 運動構件的計算	波諾馬列夫、馬里寧	330

运动杆件的計算.....	330
旋轉的圓柱形螺旋彈簧之計算.....	339
实心和空心旋轉軸中的应力.....	341
旋轉圓盤的計算.....	343,
旋轉壳的計算.....	384
第九章 超出彈性极限时的計算.....	馬里寧 392
考慮到塑性变形时零件的計算.....	392
考慮到蠕滑的計算.....	419
第十章 結構中杆件的靜力穩定性計算.....	馬庫申 448
受壓縮直杆的穩定性.....	448
承受壓縮的自然盤繞直杆的穩定性.....	471
受壓縮兼扭轉的杆的穩定性.....	473
圓環的穩定度.....	473
直梁及曲梁的平面弯曲形状的穩定性.....	475
受壓縮的圓柱形螺旋彈簧的穩定性.....	482
第十一章 机器結構元件的振动.....	簡簡耳鮑姆 485
基本概念和基本关系.....	485
結構元件的振动計算.....	516
振动的实验研究.....	558
第十二章 冲击載荷的計算.....	比第尔曼 573
緒論.....	573
块状物体的碰撞.....	574
剛性重物对本身质量非常小的彈性系統的冲击.....	575
对緩冲器的冲击.....	576
双自由度系統的冲击加载.....	578
对具有分布质量的杆件的纵冲击.....	579
对圓柱形螺旋彈簧冲击时力和变形的波动計算法.....	584
冲击計算的簡化法.....	585
彈性体冲击靜止障碍或两个彈性体相撞的簡化計算.....	588
第十三章 局部应力.....	普黎郭罗夫斯基 591
应力集中.....	591

接触应力.....	613
第十四章 强度計算.....	謝联先 626
基本概念和性质.....	626
静止应力下的强度.....	638
变动应力下的强度.....	653
反复过应力下的强度.....	684
耐久性.....	698
冲击載荷下的强度.....	698
接触应力下的强度.....	699
强度裕度与許用应力的数值.....	700
第十五章 变形, 应力与內力的實驗确定法 …普黎郭罗夫斯基	707
伸長計法.....	708
彈性位移的測量.....	741
研究应力和变形的塗蓋法.....	746
研究应力分布所用的偏振光法.....	752

第一章 应力和变形

应 力

設在受載物体中假想地作一截面 $m-n$ (图 1)，并取作用在这个截面的一小部分上的內力对这部分截面面积 ΔF 之比，当这个面积趋于无穷小、而其周边向 A 点紧縮时，所取的比率就趋近于某一极限。这个比率的极限称为应力，它决定了作用在物体內 A 点处已知面积素上的內力集度。在所研究的物体中，不但各点上的应力彼此不同，而且即使在同一点上，应力也按各个面积素的倾斜度不同而有所区别。

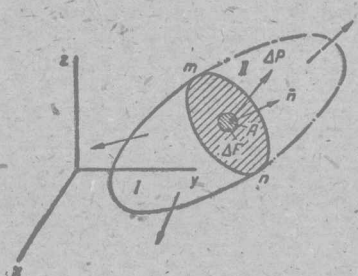


图 1

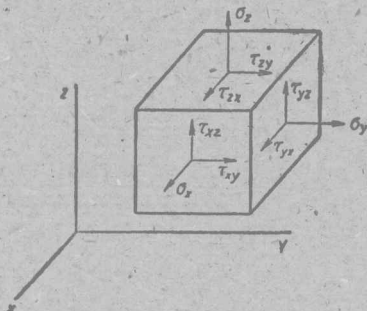


图 2

在法綫为 n 的面积素上，坐标为 (x, y, z) 的 A 点处的全应力为

$$\rho_n = \lim_{\Delta F \rightarrow 0} \frac{\Delta P}{\Delta F}, \quad (1)$$

式中 ΔP ——从物体被取去的部分 II 傳到所研究的部分 I 上的力素。

应力的因次—— $\frac{\text{力}}{\text{面积}}$ (公斤/厘米², 公斤/毫米²)。

法向应力 σ_n 等于 ρ_n 在法綫 n 上的投影：

$$\sigma_n = \rho_n \cos (\rho_n, n). \quad (2)$$

切向应力 τ_n 等于 ρ_n 在面积素 ΔF 的平面上的投影：

$$\tau_n = \rho_n \sin (\rho_n, n). \quad (3)$$

应力分量 如果已知一点处任三个互相垂直的平面(面积素)上的应力，就可以定出该点处任一平面上的应力。作用在与坐标轴 x 、 y 及 z 相垂直的平面上的应力 σ_x 、 σ_y 及 σ_z 在这些坐标轴上的投影(图2)，用下列符号来表示：

$$\rho_x: \sigma_x, \tau_{xy}, \tau_{xz};$$

$$\rho_y: \sigma_y, \tau_{yx}, \tau_{yz};$$

$$\rho_z: \sigma_z, \tau_{zx}, \tau_{zy}.$$

量 $\sigma_x, \tau_{xy}, \dots, \tau_{zy}$ 称为 A 点上的应力分量。应力分量符号中的第一个指标表示应力作用平面是与那一根轴线相垂直的；第二个指标表示应力是与那一根轴线相平行的。例如，应力 τ_{xy} 表示平行于 y 轴线而作用在与 z 轴线相垂直的平面上的切向应力。

应力分量符号的规则 如果平面在所研究的物体部分以外的法线(外向法线)指向于与之相平行的坐标轴线，则坐标轴线的正方向就作为应力分量的正方向。按照这个规则，凡是拉伸的法向应力总是正的。在图2上，所有的应力分量都是正的。

切向应力的双生性 如果在平面1上(图3)作用着切向应力 τ_1 ，则在垂直于 τ_1 的平面2上就作用着应力

$$\tau_2 = \tau_1. \quad (4)$$

因此

$$\tau_{xy} = \tau_{yx}, \tau_{yz} = \tau_{zy}, \tau_{zx} = \tau_{xz}. \quad (5)$$

主应力 通过物体的每一点都可以作出三个相互垂直的平面，在这些平面上，切向应力等于零。这些平面称为在这点上的主平面，其法线方向则称为主方向。作用在主平面上的法向应力称为主应力，它用 σ_1, σ_2 及 σ_3 来表示，其中 $\sigma_1 > \sigma_2 > \sigma_3$ 。一点上的法向应力，在主平面上达到极值。

主平面的位置及主应力的数值，可按表1中的公式来确定。

应力状态的基本类型 线(单向)应力状态——两个主应力等于零(例如在受简单拉伸或纯弯曲的梁中各点上)。在任何一个与不等于零的主应力相平行的平面上，法向应力及切向应力都等于零。平面(双向)应力状态——三个主应力中之一等于零(例如当薄板受到位于板之中平面内的力时，其各点上的应力状态即是：在零件不受载荷的表面上，各点处的应力状态亦是)。

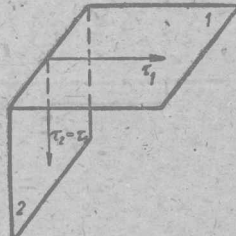
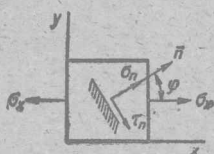


图 3

表 1 倾斜平面上的应力——主应力及最大切向应力——的公式

表中各圖上所表示的应力方向及偏轉角方向都認為是正的。如果按表中所列的公式算出的某个应力数值或偏轉角数值为負，則其方向与圖中所表示的相反。圖上所表示的应力都作用在画有阴影綫的物体部分上。

1. 单向应力状态



$$\sigma_n = \sigma_x \cos^2 \varphi; \quad (1)$$

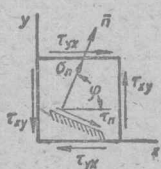
$$\tau_n = \frac{1}{2} \sigma_x \sin 2\varphi.$$

最大及最小切向应力为

$$\tau_{\max, \min} = \pm \frac{1}{2} \sigma_x \quad (2)$$

(發生在法綫与 σ_x 方向成 45° 及 135° 的各个平面上)。

2. 双向应力状态。純剪



$$\left. \begin{aligned} \sigma_n &= \tau_{xy} \sin \varphi; \\ \tau_n &= -\tau_{xy} \cos \varphi. \end{aligned} \right\} \quad (3)$$

主应力为

$$\sigma_1 = \tau_{xy} \text{ 及 } \sigma_2 = -\tau_{xy}$$

(当 $\varphi = 45^\circ$ 及 $\varphi = 135^\circ$ 时)。最大及最小切向应力为

$$\tau_{\max, \min} = \pm \tau_{xy} \quad (4)$$

(当 $\varphi = 0$ 及 $\varphi = 90^\circ$ 时)。切向应力的这些数值是垂直于圖平面的平面上的最大及最小数值。

3. 双向应力状态；已知主平面上的应力 σ_1 及 σ_2

$$\sigma_n = \sigma_1 \cos^2 \varphi + \sigma_2 \sin^2 \varphi;$$

$$\tau_n = \frac{1}{2} (\sigma_1 - \sigma_2) \sin 2\varphi. \quad (5)$$

最大及最小切向应力为

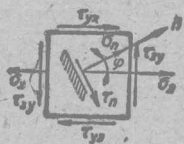
$$\tau_{\max, \min} = \pm \frac{1}{2} (\sigma_1 - \sigma_2) \quad (6)$$

(当 $\varphi = 45^\circ$ 或 $\varphi = 135^\circ$ 时)。切向应力的这些数值是垂直于圖平面的平面上的最大值及最小值。如果 $\sigma_2 > 0$ ，則所有切向应力中的最大及最小切向应力，將發生在对应力平面倾斜 45° 角的平面上，它等于：

$$\tau_{\max, \min} = \pm \frac{\sigma_1}{2}. \quad (6a)$$

(續)

4. 双向应力状态：简单拉伸或压缩加上纯剪



$$\sigma_n = \frac{1}{2} (\sigma_x + \sigma_y) + \tau_{xy} \sin 2\varphi; \quad (7)$$

$$\tau_n = \frac{1}{2} (\sigma_x - \sigma_y) - \tau_{xy} \cos 2\varphi.$$

垂直于图平面的平面上的主应力为

$$\sigma_{1,2} = \frac{\sigma_x + \sigma_y}{2} \pm \frac{1}{2} \sqrt{\sigma_x^2 + 4\tau_{xy}^2}. \quad (8)$$

确定着主平面位置的角 $\varphi = \varphi_1$ 及 $\varphi = \varphi_2$ 可由下式求出：

$$\tan \varphi_i = \frac{\sigma_i - \sigma_x}{\tau_{xy}}, \quad (9)$$

式中 $i = 1$ 或 2 。

最大及最小切向应力为

$$\tau_{\max, \min} = \pm \frac{1}{2} \sqrt{\sigma_x^2 + 4\tau_{xy}^2}, \quad (10)$$

它作用在对主平面倾斜 45° 角的平面上。

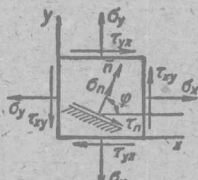
5. 双向应力状态。一般情况

$$\sigma_n = \frac{1}{2} (\sigma_x + \sigma_y) + \frac{1}{2} (\sigma_x - \sigma_y) \cos 2\varphi + \tau_{xy} \sin 2\varphi; \quad (11)$$

$$\tau_n = \frac{1}{2} (\sigma_x - \sigma_y) \sin 2\varphi - \tau_{xy} \cos 2\varphi.$$

垂直于图平面的平面上的主应力为

$$\sigma_{1,2} = \frac{\sigma_x + \sigma_y}{2} \pm \frac{1}{2} \sqrt{(\sigma_x - \sigma_y)^2 + 4\tau_{xy}^2}. \quad (12)$$

主平面的角 φ_1 及 φ_2 按下列公式确定：

$$\tan \varphi_1 = \frac{\sigma_1 - \sigma_x}{\tau_{xy}};$$

$$\tan \varphi_2 = \frac{\sigma_2 - \sigma_x}{\tau_{xy}}. \quad (13)$$

最大及最小切向应力为

$$\tau_{\max, \min} = \pm \frac{1}{2} \sqrt{(\sigma_x - \sigma_y)^2 + 4\tau_{xy}^2}, \quad (14)$$

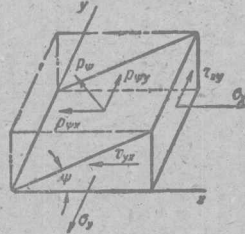
它作用在对主平面倾斜 45° 角的平面上。如果 $\sigma_2 > 0$ ，则所有切向应力中的最大切向应力将发生在对应力平面侧斜 45° 角的平面上，它等于

$$\tau_{\max} = \frac{\sigma_1}{2}.$$

(續)

6. 双向应力状态。一般情况

在平行于应力 σ_y 而对平面 xy 倾斜 ψ 角的平面上的应力



$$p_{\psi x} = \sigma_x \sin \psi; \quad (15)$$

$$p_{\psi y} = -\tau_{xy} \sin \psi, \quad (16)$$

位在平行于平面 xy 的平面中:

$$p_\psi = \sqrt{p_{\psi x}^2 + p_{\psi y}^2} = \sqrt{\sigma_x^2 + \tau_{xy}^2} \sin \psi. \quad (17)$$

法向应力为

$$\sigma_\psi = \sigma_x \sin^2 \psi. \quad (18)$$

切向应力为

$$\tau_\psi = \sin \psi \sqrt{\frac{\sigma_x^2}{2}(1+\cos 2\psi) + \tau_{xy}^2}. \quad (19)$$

7. 三向应力状态。已知各主应力

法线为 n 的平面上的法向应力及切向应力为

$$\sigma_n = \sigma_1 \cos^2(n, x) + \sigma_2 \cos^2(n, y) + \sigma_3 \cos^2(n, z); \quad (20)$$

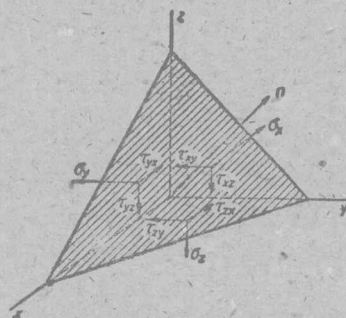
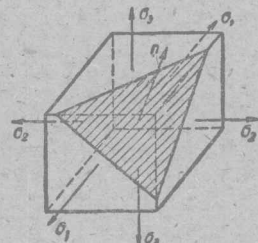
$$\begin{aligned} \tau_n = & \sqrt{\sigma_1^2 \cos^2(n, x) + \sigma_2^2 \cos^2(n, y) + \sigma_3^2 \cos^2(n, z)} - (\sigma_1 \cos^2(n, x) \\ & + \sigma_2 \cos^2(n, y) + \sigma_3 \cos^2(n, z))^2. \end{aligned} \quad (21)$$

在对三个主应力倾斜相同角度的平面(正八面体平面)上, 法向应力及切向应力等于

$$\sigma = \frac{\sigma_1 + \sigma_2 + \sigma_3}{3},$$

$$\tau = \frac{\sqrt{2}}{3} \sqrt{\sigma_1^2 + \sigma_2^2 + \sigma_3^2 - \sigma_1 \sigma_2 - \sigma_2 \sigma_3 - \sigma_3 \sigma_1}$$

(正八面体应力)



(續)

切向应力的極端值为

$$\tau_1 = \frac{\sigma_1 - \sigma_3}{2}; \quad \tau_2 = \frac{\sigma_2 - \sigma_3}{2}; \quad \tau_3 = \frac{\sigma_1 - \sigma_2}{2}.$$

最大切向应力 τ_1 所作用的平面，垂直于第二主平面、而等分第一及第三主平面之間的角。

8. 三向应力状态。一般情况。已知所研究点上的各应力分量
法綫为 n 的平面上的法向应力为

$$\sigma_n = \sigma_x \cos^2(n, x) + \sigma_y \cos^2(n, y) + \sigma_z \cos^2(n, z) + 2\tau_{xy} \cos(n, x) \cos(n, y) + 2\tau_{yz} \cos(n, y) \cos(n, z) + 2\tau_{zx} \cos(n, z) \cos(n, x). \quad (22)$$

在法綫为 n 的平面上，平行于軸 x 、 y 、 z 的分应力为

$$\begin{aligned} p_{nx} &= \sigma_x \cos(n, x) + \tau_{yx} \cos(n, y) + \tau_{zx} \cos(n, z); \\ p_{ny} &= \tau_{xy} \cos(n, x) + \sigma_y \cos(n, y) + \tau_{zy} \cos(n, z); \\ p_{nz} &= \tau_{xz} \cos(n, x) + \tau_{yz} \cos(n, y) + \sigma_z \cos(n, z). \end{aligned} \quad (23)$$

法綫为 n 的平面上的全应力为

$$\rho_n = \sqrt{p_{nx}^2 + p_{ny}^2 + p_{nz}^2}, \quad (24)$$

其方向与法綫 n 形成一角 ν ，这个角按下式确定：

$$\cos \nu = \frac{\tau_n}{\rho_n},$$

式中全切向应力为

$$\tau_n = \sqrt{\rho_n^2 - \sigma_n^2}. \quad (25)$$

所研究的点上的主应力 σ_1 、 σ_2 及 σ_3 等于下式的三个根：

$$\begin{aligned} \sigma_i^3 - (\sigma_x + \sigma_y + \sigma_z)\sigma_i^2 + (\sigma_x\sigma_y + \sigma_y\sigma_z + \sigma_z\sigma_x - \tau_{xy}^2 - \tau_{yz}^2 - \tau_{zx}^2)\sigma_i \\ - (\sigma_x\sigma_z + 2\tau_{xy}\tau_{yz}\tau_{zx} - \sigma_x\tau_{yz}^2 - \sigma_y\tau_{zx}^2 - \sigma_z\tau_{xy}^2) = 0. \end{aligned} \quad (26)$$

每一个主平面的法綫的方向余弦，都可从下列一组方程式定出：

$$(\sigma_x - \sigma_i) \cos(n, x) + \tau_{xy} \cos(n, y) + \tau_{xz} \cos(n, z) = 0;$$

$$\tau_{xy} \cos(n, x) + (\sigma_y - \sigma_i) \cos(n, y) + \tau_{yz} \cos(n, z) = 0;$$

$$\tau_{xz} \cos(n, x) + \tau_{yz} \cos(n, y) + (\sigma_z - \sigma_i) \cos(n, z) = 0;$$

$$\cos^2(n, x) + \cos^2(n, y) + \cos^2(n, z) = 1. \quad (28)$$

在前三个方程式中，只有两个是独立的。

对于双向应力状态，其主应力用 σ_1 及 σ_2 来表示 $(\sigma_1 \geq \sigma_2)$ 。任何一个平面上的全应力，都平行于主应力 σ_1 及 σ_2 的作用方向所成的平面。

立体（三向）应力状态——所有三个主应力都不等于零。

任何一个应力状态都可以看作两个应力状态 I 及 II 之和。应力状态 I 的